Eingabe: Farbmetrisches Reflexions-System MRS18a
für Buntton *h* = lab*h = 31/360 = 0.086*
lab*tch* und *lab*nch

D65: Buntton R
LCH*Ma: 50 78 31
rgb*Ma: 1.0 0.0 0.0

Dreiecks-Helligkeit

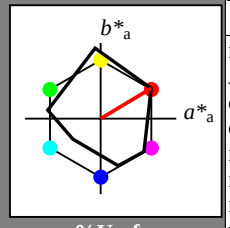

%Umfang
u*rel = 92

MRS18a; adaptierte CIELAB-Daten

	L*=L*a	a*a	b*a	C*ab,a	h*ab,a
R_{Ma}	49.63	66.8	40.02	77.87	31
J_{Ma}	90.7	−7.27	93.19	93.48	94
G_{Ma}	52.11	−69.93	11.26	70.85	171
$G50B_{Ma}$	45.03	−36.65	−27.13	45.61	217
B_{Ma}	36.65	23.26	−62.27	66.49	290
$B50R_{Ma}$	34.94	57.27	−43.6	71.99	323
N_{Ma}	18.01	0.0	0.0	0.0	0
W_{Ma}	95.41	0.0	0.0	0.0	0
R_{CIE}	39.92	58.67	27.97	64.99	25
J_{CIE}	81.26	−2.91	71.56	71.62	92
G_{CIE}	52.23	−42.47	13.58	44.6	162
B_{CIE}	30.57	1.33	−46.48	46.51	272

%Regularität
g*H,rel = 42
g*C,rel = 49

Ausgabe: Farbmetrisches Reflexions-System ORS18
für Buntton *h* = lab*h = 38/360 = 0.105*
lab*tch* und *lab*nch

D65: Buntton O
LCH*Ma: 48 83 38
rgb*Ma: 1.0 0.0 0.0

Dreiecks-Helligkeit

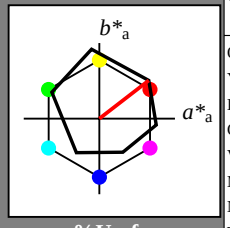

%Umfang
u*rel = 93

ORS18; adaptierte CIELAB-Daten

	L*=L*a	a*a	b*a	C*ab,a	h*ab,a
O_{Ma}	47.94	65.37	50.52	82.62	38
Y_{Ma}	90.37	−10.27	91.77	92.34	96
L_{Ma}	50.9	−62.79	34.95	71.87	151
C_{Ma}	58.62	−30.35	−45.01	54.3	236
V_{Ma}	25.71	31.11	−44.42	54.24	305
M_{Ma}	48.13	75.27	−8.35	75.73	354
N_{Ma}	18.01	0.0	0.0	0.0	0
W_{Ma}	95.41	0.0	0.0	0.0	0
R_{CIE}	39.92	58.66	26.98	64.56	25
J_{CIE}	81.26	−2.17	67.76	67.79	92
G_{CIE}	52.23	−42.26	11.75	43.87	164
B_{CIE}	30.57	1.15	−46.84	46.87	271

%Regularität
g*H,rel = 57
g*C,rel = 59

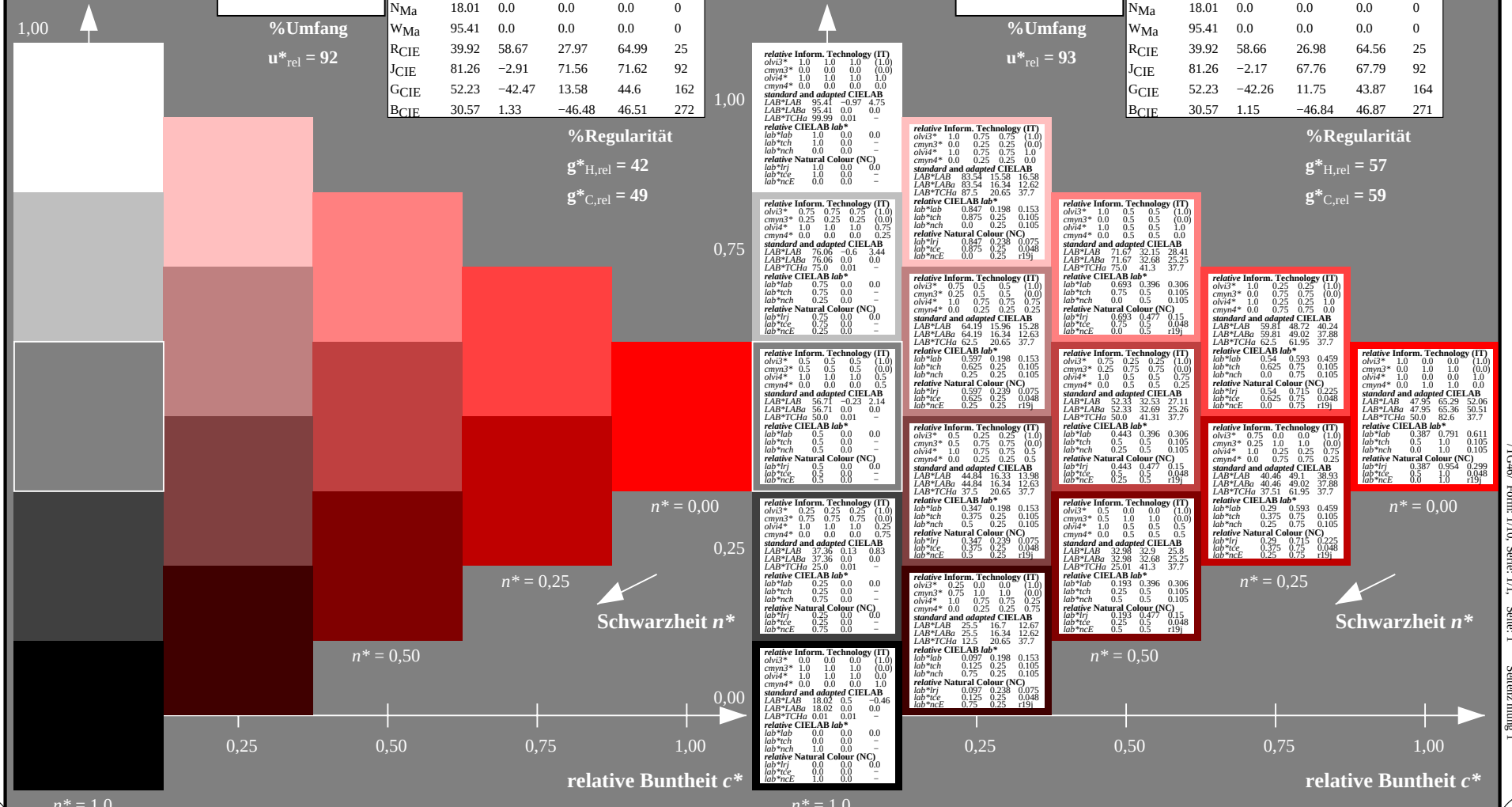

TG460−7, 5 stufige Reihen für konstanten CIELAB Buntton 31/360 = 0.086 (links)

5 stufige Reihen für konstanten CIELAB Buntton 38/360 = 0.105 (rechts)

BAM-Prüfvorlage TG46; Farbmetrik-Systeme ORS18 & ORS18 input: *olv* setrgbcolor*
D65: 5stufige Farbreihen und Koordinaten-Daten für 10 Bunttöne output: *Startup (S) data dependend*

Eingabe: Farbmetrisches Reflexions-System MRS18a
für Buntton *h* = lab*h = 94/360 = 0.262*
lab*tch* und *lab*nch

D65: Buntton J
LCH*Ma: 91 93 94
rgb*Ma: 1.0 1.0 0.0

Dreiecks-Helligkeit

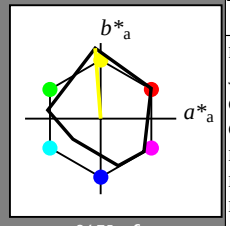

%Umfang

u*$_{rel}$ = 92

MRS18a; adaptierte CIELAB-Daten

	$L^*=L^*_a$	a^*_a	b^*_a	$C^*_{ab,a}$	$h^*_{ab,a}$
R_{Ma}	49.63	66.8	40.02	77.87	31
J_{Ma}	90.7	−7.27	93.19	93.48	94
G_{Ma}	52.11	−69.93	11.26	70.85	171
$G50B_{Ma}$	45.03	−36.65	−27.13	45.61	217
B_{Ma}	36.65	23.26	−62.27	66.49	290
$B50R_{Ma}$	34.94	57.27	−43.6	71.99	323
N_{Ma}	18.01	0.0	0.0	0.0	0
W_{Ma}	95.41	0.0	0.0	0.0	0
R_{CIE}	39.92	58.67	27.97	64.99	25
J_{CIE}	81.26	−2.91	71.56	71.62	92
G_{CIE}	52.23	−42.47	13.58	44.6	162
B_{CIE}	30.57	1.33	−46.48	46.51	272

%Regularität

g*$_{H,rel}$ = 42

g*$_{C,rel}$ = 49

Ausgabe: Farbmetrisches Reflexions-System ORS18
für Buntton *h* = lab*h = 96/360 = 0.268*
lab*tch* und *lab*nch

D65: Buntton Y
LCH*Ma: 90 92 96
rgb*Ma: 1.0 1.0 0.0

Dreiecks-Helligkeit

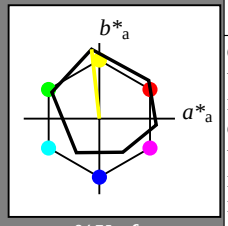

%Umfang

u*$_{rel}$ = 93

ORS18; adaptierte CIELAB-Daten

	$L^*=L^*_a$	a^*_a	b^*_a	$C^*_{ab,a}$	$h^*_{ab,a}$
O_{Ma}	47.94	65.37	50.52	82.62	38
Y_{Ma}	90.37	−10.27	91.77	92.34	96
L_{Ma}	50.9	−62.79	34.95	71.87	151
C_{Ma}	58.62	−30.35	−45.01	54.3	236
V_{Ma}	25.71	31.11	−44.42	54.24	305
M_{Ma}	48.13	75.27	−8.35	75.73	354
N_{Ma}	18.01	0.0	0.0	0.0	0
W_{Ma}	95.41	0.0	0.0	0.0	0
R_{CIE}	39.92	58.66	26.98	64.56	25
J_{CIE}	81.26	−2.17	67.76	67.79	92
G_{CIE}	52.23	−42.26	11.75	43.87	164
B_{CIE}	30.57	1.15	−46.84	46.87	271

%Regularität

g*$_{H,rel}$ = 57

g*$_{C,rel}$ = 59

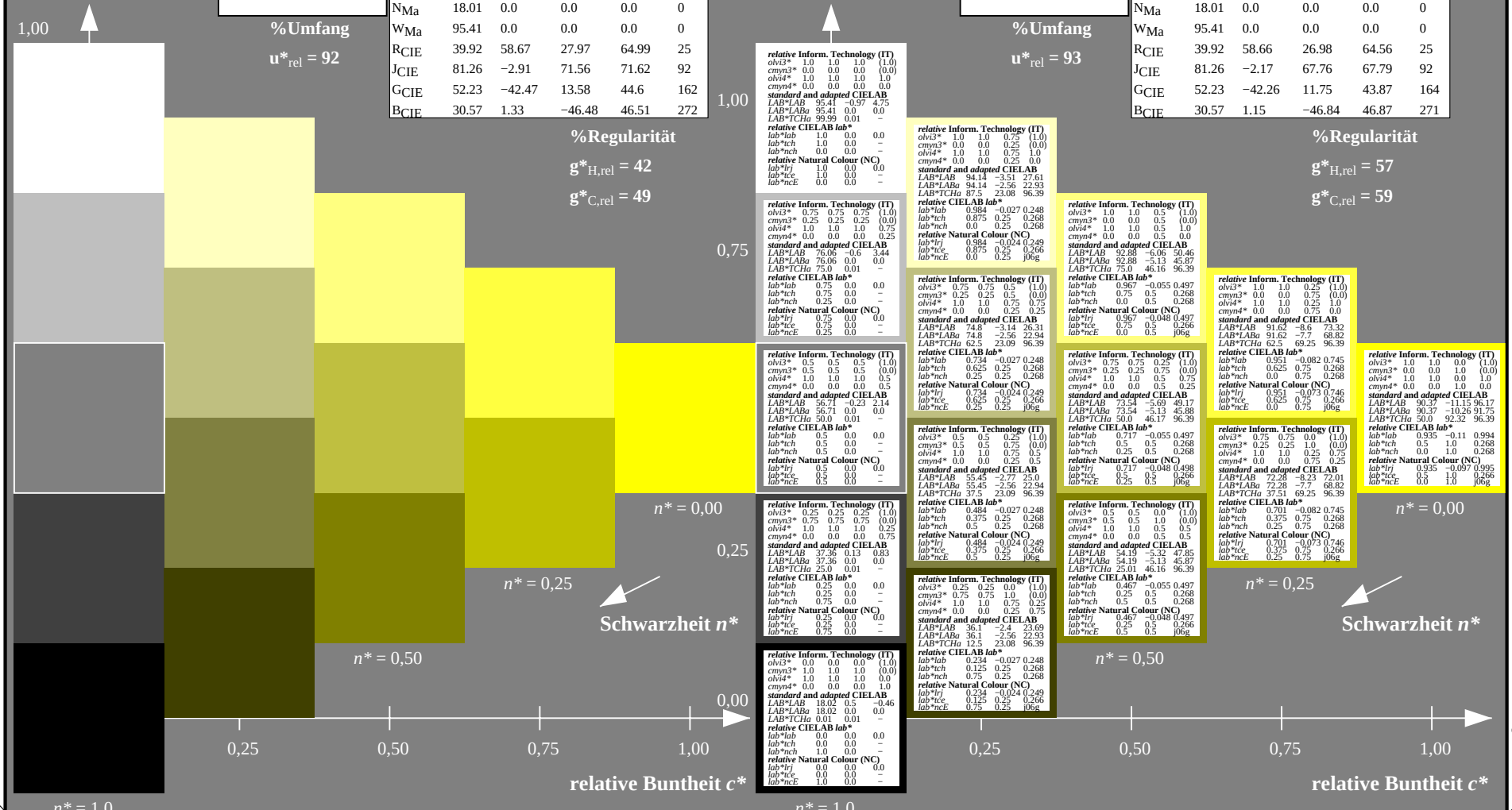

TG460−7, 5 stufige Reihen für konstanten CIELAB Buntton 94/360 = 0.262 (links)

5 stufige Reihen für konstanten CIELAB Buntton 96/360 = 0.268 (rechts)

BAM-Prüfvorlage TG46; Farbmetrik-Systeme ORS18 & ORS18 input: *olv* setrgbcolor*
D65: 5stufige Farbreihen und Koordinaten-Daten für 10 Bunttöne output: *Startup (S) data dependend*

Eingabe: Farbmetrisches Reflexions-System MRS18a
für Buntton *h* = lab*h = 171/360 = 0.475*
lab*tch* und *lab*nch

D65: Buntton G
LCH*Ma: 52 71 171
rgb*Ma: 0.0 1.0 0.0

Dreiecks-Helligkeit

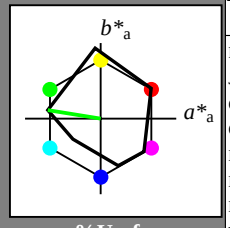

%Umfang
u*$_{rel}$ = 92

MRS18a; adaptierte CIELAB-Daten

	$L^*=L^*_a$	a^*_a	b^*_a	$C^*_{ab,a}$	$h^*_{ab,a}$
R_{Ma}	49.63	66.8	40.02	77.87	31
J_{Ma}	90.7	−7.27	93.19	93.48	94
G_{Ma}	52.11	−69.93	11.26	70.85	171
$G50B_{Ma}$	45.03	−36.65	−27.13	45.61	217
B_{Ma}	36.65	23.26	−62.27	66.49	290
$B50R_{Ma}$	34.94	57.27	−43.6	71.99	323
N_{Ma}	18.01	0.0	0.0	0.0	0
W_{Ma}	95.41	0.0	0.0	0.0	0
R_{CIE}	39.92	58.67	27.97	64.99	25
J_{CIE}	81.26	−2.91	71.56	71.62	92
G_{CIE}	52.23	−42.47	13.58	44.6	162
B_{CIE}	30.57	1.33	−46.48	46.51	272

%Regularität
g*$_{H,rel}$ = 42
g*$_{C,rel}$ = 49

1,00
0,75
0,25
0,00
n = 0,00*
n = 0,25*
n = 0,50*
n = 1,0*
Schwarzheit *n**
0,25 0,50 0,75 1,00
relative Buntheit *c**

Ausgabe: Farbmetrisches Reflexions-System ORS18
für Buntton *h* = lab*h = 151/360 = 0.419*
lab*tch* und *lab*nch

D65: Buntton L
LCH*Ma: 51 72 151
rgb*Ma: 0.0 1.0 0.0

Dreiecks-Helligkeit

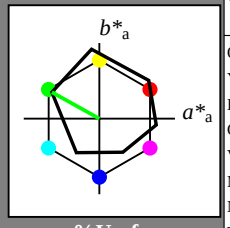

%Umfang
u*$_{rel}$ = 93

ORS18; adaptierte CIELAB-Daten

	$L^*=L^*_a$	a^*_a	b^*_a	$C^*_{ab,a}$	$h^*_{ab,a}$
O_{Ma}	47.94	65.37	50.52	82.62	38
Y_{Ma}	90.37	−10.27	91.77	92.34	96
L_{Ma}	50.9	−62.79	34.95	71.87	151
C_{Ma}	58.62	−30.35	−45.01	54.3	236
V_{Ma}	25.71	31.11	−44.42	54.24	305
M_{Ma}	48.13	75.27	−8.35	75.73	354
N_{Ma}	18.01	0.0	0.0	0.0	0
W_{Ma}	95.41	0.0	0.0	0.0	0
R_{CIE}	39.92	58.66	26.98	64.56	25
J_{CIE}	81.26	−2.17	67.76	67.79	92
G_{CIE}	52.23	−42.26	11.75	43.87	164
B_{CIE}	30.57	1.15	−46.84	46.87	271

%Regularität
g*$_{H,rel}$ = 57
g*$_{C,rel}$ = 59

1,00
0,75
0,25
0,00
n = 0,00*
n = 0,25*
n = 0,50*
n = 1,0*
Schwarzheit *n**
0,25 0,50 0,75 1,00
relative Buntheit *c**

TG460−7, 5 stufige Reihen für konstanten CIELAB Buntton 171/360 = 0.475 (links)
5 stufige Reihen für konstanten CIELAB Buntton 151/360 = 0.419 (rechts)

Eingabe: Farbmetrisches Reflexions-System MRS18a
für Buntton *h* = lab*h = 217/360 = 0.601*
lab*tch* und *lab*nch

D65: Buntton G50B
LCH*Ma: 45 46 217
rgb*Ma: 0.0 1.0 1.0

Dreiecks-Helligkeit

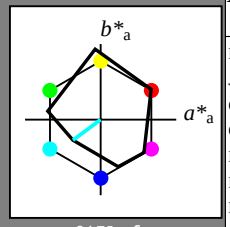

%Umfang
u*rel = 92

MRS18a; adaptierte CIELAB-Daten

	L*=L*a	a*a	b*a	C*ab,a	h*ab,a
RMa	49.63	66.8	40.02	77.87	31
JMa	90.7	−7.27	93.19	93.48	94
GMa	52.11	−69.93	11.26	70.85	171
G50BMa	45.03	−36.65	−27.13	45.61	217
BMa	36.65	23.26	−62.27	66.49	290
B50RMa	34.94	57.27	−43.6	71.99	323
NMa	18.01	0.0	0.0	0.0	0
WMa	95.41	0.0	0.0	0.0	0
RCIE	39.92	58.67	27.97	64.99	25
JCIE	81.26	−2.91	71.56	71.62	92
GCIE	52.23	−42.47	13.58	44.6	162
BCIE	30.57	1.33	−46.48	46.51	272

%Regularität
g*H,rel = 42
g*C,rel = 49

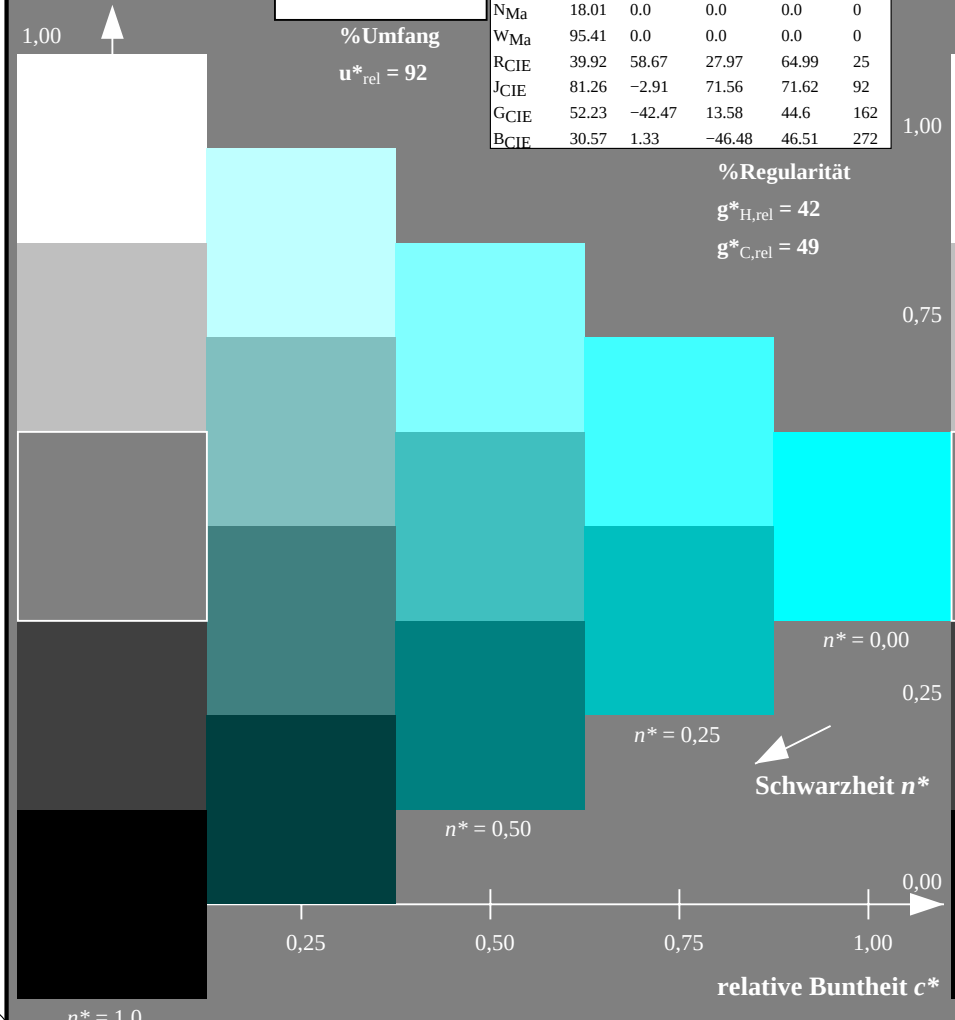

Ausgabe: Farbmetrisches Reflexions-System ORS18
für Buntton *h* = lab*h = 236/360 = 0.656*
lab*tch* und *lab*nch

D65: Buntton C
LCH*Ma: 59 54 236
rgb*Ma: 0.0 1.0 1.0

Dreiecks-Helligkeit

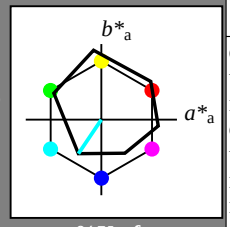

%Umfang
u*rel = 93

ORS18; adaptierte CIELAB-Daten

	L*=L*a	a*a	b*a	C*ab,a	h*ab,a
OMa	47.94	65.37	50.52	82.62	38
YMa	90.37	−10.27	91.77	92.34	96
LMa	50.9	−62.79	34.95	71.87	151
CMa	58.62	−30.35	−45.01	54.3	236
VMa	25.71	31.11	−44.42	54.24	305
MMa	48.13	75.27	−8.35	75.73	354
NMa	18.01	0.0	0.0	0.0	0
WMa	95.41	0.0	0.0	0.0	0
RCIE	39.92	58.66	26.98	64.56	25
JCIE	81.26	−2.17	67.76	67.79	92
GCIE	52.23	−42.26	11.75	43.87	164
BCIE	30.57	1.15	−46.84	46.87	271

%Regularität
g*H,rel = 57
g*C,rel = 59

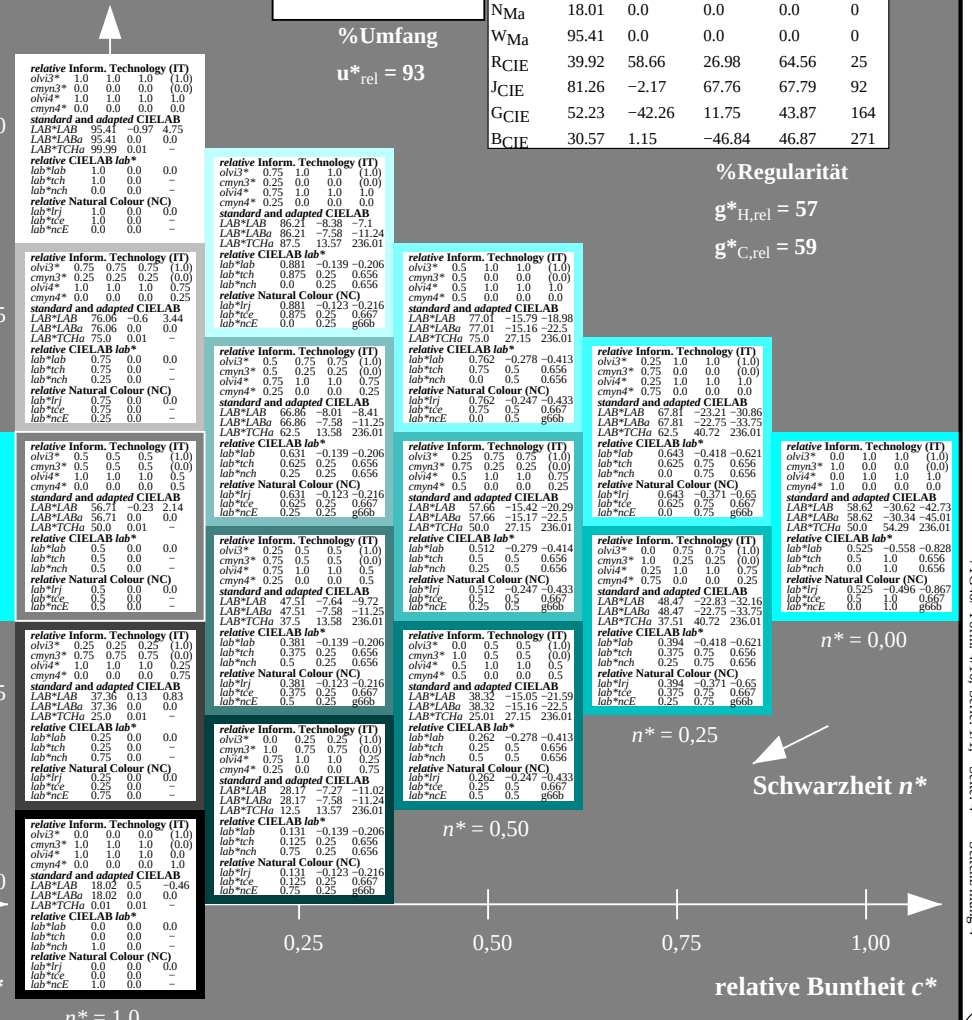

TG460−7, 5 stufige Reihen für konstanten CIELAB Buntton 217/360 = 0.601 (links)

5 stufige Reihen für konstanten CIELAB Buntton 236/360 = 0.656 (rechts)

Eingabe: Farbmetrisches Reflexions-System MRS18a
für Buntton *h* = lab*h = 290/360 = 0.807*
lab*tch* und *lab*nch

D65: Buntton B
LCH*Ma: 37 66 290
rgb*Ma: 0.0 0.0 1.0

Dreiecks-Helligkeit

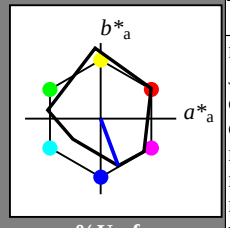

%Umfang

u*rel = 92

MRS18a; adaptierte CIELAB-Daten

	$L^*=L^*_a$	a^*_a	b^*_a	$C^*_{ab,a}$	$h^*_{ab,a}$
R_{Ma}	49.63	66.8	40.02	77.87	31
J_{Ma}	90.7	−7.27	93.19	93.48	94
G_{Ma}	52.11	−69.93	11.26	70.85	171
$G50B_{Ma}$	45.03	−36.65	−27.13	45.61	217
B_{Ma}	36.65	23.26	−62.27	66.49	290
$B50R_{Ma}$	34.94	57.27	−43.6	71.99	323
N_{Ma}	18.01	0.0	0.0	0.0	0
W_{Ma}	95.41	0.0	0.0	0.0	0
R_{CIE}	39.92	58.67	27.97	64.99	25
J_{CIE}	81.26	−2.91	71.56	71.62	92
G_{CIE}	52.23	−42.47	13.58	44.6	162
B_{CIE}	30.57	1.33	−46.48	46.51	272

%Regularität

g*H,rel = 42

g*C,rel = 49

Ausgabe: Farbmetrisches Reflexions-System ORS18
für Buntton *h* = lab*h = 305/360 = 0.847*
lab*tch* und *lab*nch

D65: Buntton V
LCH*Ma: 26 54 305
rgb*Ma: 0.0 0.0 1.0

Dreiecks-Helligkeit

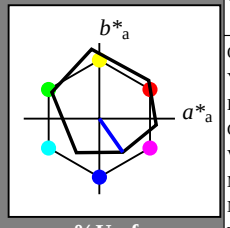

%Umfang

u*rel = 93

ORS18; adaptierte CIELAB-Daten

	$L^*=L^*_a$	a^*_a	b^*_a	$C^*_{ab,a}$	$h^*_{ab,a}$
O_{Ma}	47.94	65.37	50.52	82.62	38
Y_{Ma}	90.37	−10.27	91.77	92.34	96
L_{Ma}	50.9	−62.79	34.95	71.87	151
C_{Ma}	58.62	−30.35	−45.01	54.3	236
V_{Ma}	25.71	31.11	−44.42	54.24	305
M_{Ma}	48.13	75.27	−8.35	75.73	354
N_{Ma}	18.01	0.0	0.0	0.0	0
W_{Ma}	95.41	0.0	0.0	0.0	0
R_{CIE}	39.92	58.66	26.98	64.56	25
J_{CIE}	81.26	−2.17	67.76	67.79	92
G_{CIE}	52.23	−42.26	11.75	43.87	164
B_{CIE}	30.57	1.15	−46.84	46.87	271

%Regularität

g*H,rel = 57

g*C,rel = 59

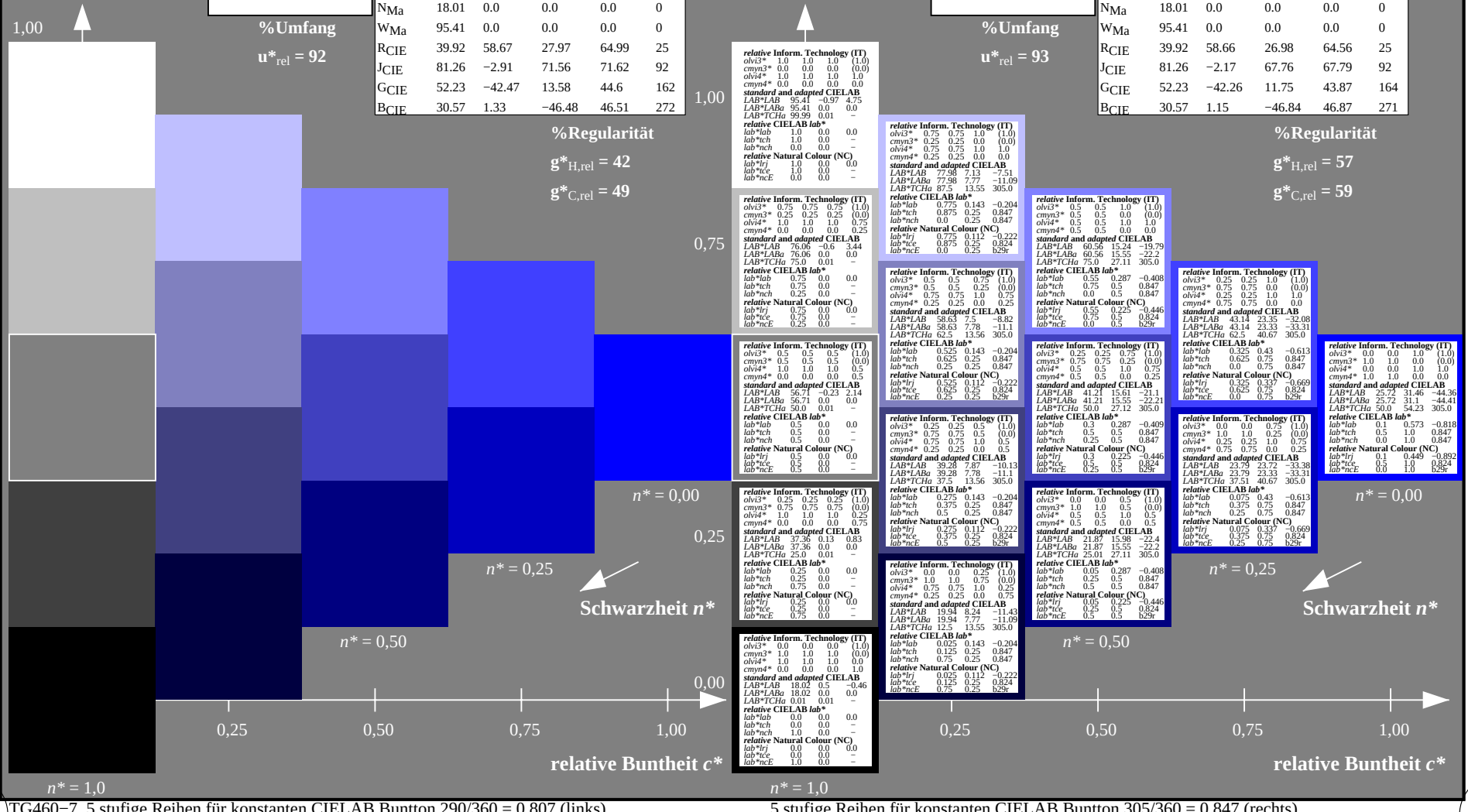

TG460−7, 5 stufige Reihen für konstanten CIELAB Buntton 290/360 = 0.807 (links)

5 stufige Reihen für konstanten CIELAB Buntton 305/360 = 0.847 (rechts)

BAM-Prüfvorlage TG46; Farbmetrik-Systeme ORS18 & ORS18 input: *olv* setrgbcolor*
D65: 5stufige Farbreihen und Koordinaten-Daten für 10 Bunttöne output: *Startup (S) data dependend*

Eingabe: Farbmetrisches Reflexions-System MRS18a
für Buntton *h* = lab*h = 323/360 = 0.896*
lab*tch* und *lab*nch

D65: Buntton B50R
LCH*Ma: 35 72 323
rgb*Ma: 1.0 0.0 1.0

Dreiecks-Helligkeit

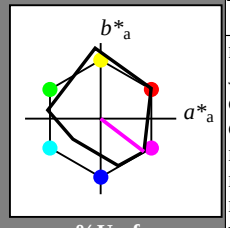

%Umfang

u*rel = 92

MRS18a; adaptierte CIELAB-Daten

	L*=L*a	a*a	b*a	C*ab,a	h*ab,a
R_{Ma}	49.63	66.8	40.02	77.87	31
J_{Ma}	90.7	−7.27	93.19	93.48	94
G_{Ma}	52.11	−69.93	11.26	70.85	171
$G50B_{Ma}$	45.03	−36.65	−27.13	45.61	217
B_{Ma}	36.65	23.26	−62.27	66.49	290
$B50R_{Ma}$	34.94	57.27	−43.6	71.99	323
N_{Ma}	18.01	0.0	0.0	0.0	0
W_{Ma}	95.41	0.0	0.0	0.0	0
R_{CIE}	39.92	58.67	27.97	64.99	25
J_{CIE}	81.26	−2.91	71.56	71.62	92
G_{CIE}	52.23	−42.47	13.58	44.6	162
B_{CIE}	30.57	1.33	−46.48	46.51	272

%Regularität

g*H,rel = 42

g*C,rel = 49

1,00 0,75 0,25 0,00

n = 0,00* *n* = 0,25* *n* = 0,50* *n* = 1,0*

Schwarzheit *n**

0,25 0,50 0,75 1,00

relative Buntheit *c**

TG460−7, 5 stufige Reihen für konstanten CIELAB Buntton 323/360 = 0.896 (links)

Ausgabe: Farbmetrisches Reflexions-System ORS18
für Buntton *h* = lab*h = 354/360 = 0.982*
lab*tch* und *lab*nch

D65: Buntton M
LCH*Ma: 48 76 354
rgb*Ma: 1.0 0.0 1.0

Dreiecks-Helligkeit

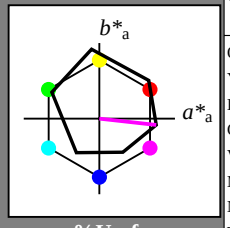

%Umfang

u*rel = 93

ORS18; adaptierte CIELAB-Daten

	L*=L*a	a*a	b*a	C*ab,a	h*ab,a
O_{Ma}	47.94	65.37	50.52	82.62	38
Y_{Ma}	90.37	−10.27	91.77	92.34	96
L_{Ma}	50.9	−62.79	34.95	71.87	151
C_{Ma}	58.62	−30.35	−45.01	54.3	236
V_{Ma}	25.71	31.11	−44.42	54.24	305
M_{Ma}	48.13	75.27	−8.35	75.73	354
N_{Ma}	18.01	0.0	0.0	0.0	0
W_{Ma}	95.41	0.0	0.0	0.0	0
R_{CIE}	39.92	58.66	26.98	64.56	25
J_{CIE}	81.26	−2.17	67.76	67.79	92
G_{CIE}	52.23	−42.26	11.75	43.87	164
B_{CIE}	30.57	1.15	−46.84	46.87	271

%Regularität

g*H,rel = 57

g*C,rel = 59

1,00 0,75 0,25 0,00

n = 0,00* *n* = 0,25* *n* = 0,50* *n* = 1,0*

Schwarzheit *n**

0,25 0,50 0,75 1,00

relative Buntheit *c**

5 stufige Reihen für konstanten CIELAB Buntton 354/360 = 0.982 (rechts)

Eingabe: Farbmetrisches Reflexions-System MRS18a
für Buntton *h* = lab*h = 25/360 = 0.071*
lab*tch* und *lab*nch

D65: Buntton R
LCH*Ma: 48 73 25
rgb*Ma: 1.0 0.0 0.1

Dreiecks-Helligkeit

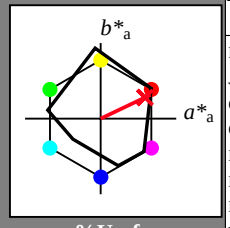

%Umfang

u*rel = 92

MRS18a; adaptierte CIELAB-Daten

	L*=L*a	a*a	b*a	C*ab,a	h*ab,a
R_{Ma}	49.63	66.8	40.02	77.87	31
J_{Ma}	90.7	−7.27	93.19	93.48	94
G_{Ma}	52.11	−69.93	11.26	70.85	171
$G50B_{Ma}$	45.03	−36.65	−27.13	45.61	217
B_{Ma}	36.65	23.26	−62.27	66.49	290
$B50R_{Ma}$	34.94	57.27	−43.6	71.99	323
N_{Ma}	18.01	0.0	0.0	0.0	0
W_{Ma}	95.41	0.0	0.0	0.0	0
R_{CIE}	39.92	58.67	27.97	64.99	25
J_{CIE}	81.26	−2.91	71.56	71.62	92
G_{CIE}	52.23	−42.47	13.58	44.6	162
B_{CIE}	30.57	1.33	−46.48	46.51	272

%Regularität

g*H,rel = 42

g*C,rel = 49

1,00 0,75 0,25 0,00

n = 0,00* *n* = 0,25* *n* = 0,50* *n* = 1,0*

Schwarzheit *n**

0,25 0,50 0,75 1,00

relative Buntheit *c**

TG460−7, 5 stufige Reihen für konstanten CIELAB Buntton 25/360 = 0.071 (links)

Ausgabe: Farbmetrisches Reflexions-System ORS18
für Buntton *h* = lab*h = 25/360 = 0.069*
lab*tch* und *lab*nch

D65: Buntton R
LCH*Ma: 48 75 25
rgb*Ma: 1.0 0.0 0.32

Dreiecks-Helligkeit

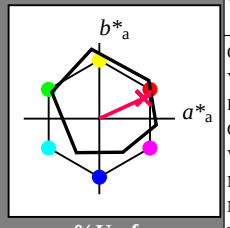

%Umfang

u*rel = 93

ORS18; adaptierte CIELAB-Daten

	L*=L*a	a*a	b*a	C*ab,a	h*ab,a
O_{Ma}	47.94	65.37	50.52	82.62	38
Y_{Ma}	90.37	−10.27	91.77	92.34	96
L_{Ma}	50.9	−62.79	34.95	71.87	151
C_{Ma}	58.62	−30.35	−45.01	54.3	236
V_{Ma}	25.71	31.11	−44.42	54.24	305
M_{Ma}	48.13	75.27	−8.35	75.73	354
N_{Ma}	18.01	0.0	0.0	0.0	0
W_{Ma}	95.41	0.0	0.0	0.0	0
R_{CIE}	39.92	58.66	26.98	64.56	25
J_{CIE}	81.26	−2.17	67.76	67.79	92
G_{CIE}	52.23	−42.26	11.75	43.87	164
B_{CIE}	30.57	1.15	−46.84	46.87	271

%Regularität

g*H,rel = 57

g*C,rel = 59

1,00 0,75 0,25 0,00

n = 0,00* *n* = 0,25* *n* = 0,50* *n* = 1,0*

Schwarzheit *n**

0,25 0,50 0,75 1,00

relative Buntheit *c**

5 stufige Reihen für konstanten CIELAB Buntton 25/360 = 0.069 (rechts)

Eingabe: Farbmetrisches Reflexions-System MRS18a
für Buntton *h* = lab*h = 92/360 = 0.256*
lab*tch* und *lab*nch

D65: Buntton J
LCH*Ma: 89 91 92
rgb*Ma: 1.0 0.95 0.0

Dreiecks-Helligkeit

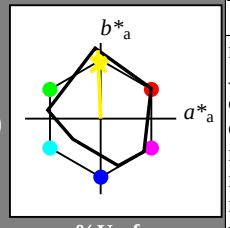

%Umfang

u*$_{rel}$ = 92

MRS18a; adaptierte CIELAB-Daten

	$L^*=L^*_a$	a^*_a	b^*_a	$C^*_{ab,a}$	$h^*_{ab,a}$
R_{Ma}	49.63	66.8	40.02	77.87	31
J_{Ma}	90.7	−7.27	93.19	93.48	94
G_{Ma}	52.11	−69.93	11.26	70.85	171
$G50B_{Ma}$	45.03	−36.65	−27.13	45.61	217
B_{Ma}	36.65	23.26	−62.27	66.49	290
$B50R_{Ma}$	34.94	57.27	−43.6	71.99	323
N_{Ma}	18.01	0.0	0.0	0.0	0
W_{Ma}	95.41	0.0	0.0	0.0	0
R_{CIE}	39.92	58.67	27.97	64.99	25
J_{CIE}	81.26	−2.91	71.56	71.62	92
G_{CIE}	52.23	−42.47	13.58	44.6	162
B_{CIE}	30.57	1.33	−46.48	46.51	272

%Regularität

g*$_{H,rel}$ = 42

g*$_{C,rel}$ = 49

Ausgabe: Farbmetrisches Reflexions-System ORS18
für Buntton *h* = lab*h = 92/360 = 0.255*
lab*tch* und *lab*nch

D65: Buntton J
LCH*Ma: 86 88 92
rgb*Ma: 1.0 0.9 0.0

Dreiecks-Helligkeit

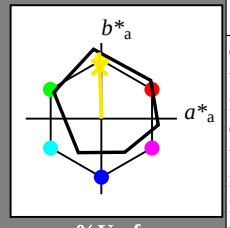

%Umfang

u*$_{rel}$ = 93

ORS18; adaptierte CIELAB-Daten

	$L^*=L^*_a$	a^*_a	b^*_a	$C^*_{ab,a}$	$h^*_{ab,a}$
O_{Ma}	47.94	65.37	50.52	82.62	38
Y_{Ma}	90.37	−10.27	91.77	92.34	96
L_{Ma}	50.9	−62.79	34.95	71.87	151
C_{Ma}	58.62	−30.35	−45.01	54.3	236
V_{Ma}	25.71	31.11	−44.42	54.24	305
M_{Ma}	48.13	75.27	−8.35	75.73	354
N_{Ma}	18.01	0.0	0.0	0.0	0
W_{Ma}	95.41	0.0	0.0	0.0	0
R_{CIE}	39.92	58.66	26.98	64.56	25
J_{CIE}	81.26	−2.17	67.76	67.79	92
G_{CIE}	52.23	−42.26	11.75	43.87	164
B_{CIE}	30.57	1.15	−46.84	46.87	271

%Regularität

g*$_{H,rel}$ = 57

g*$_{C,rel}$ = 59

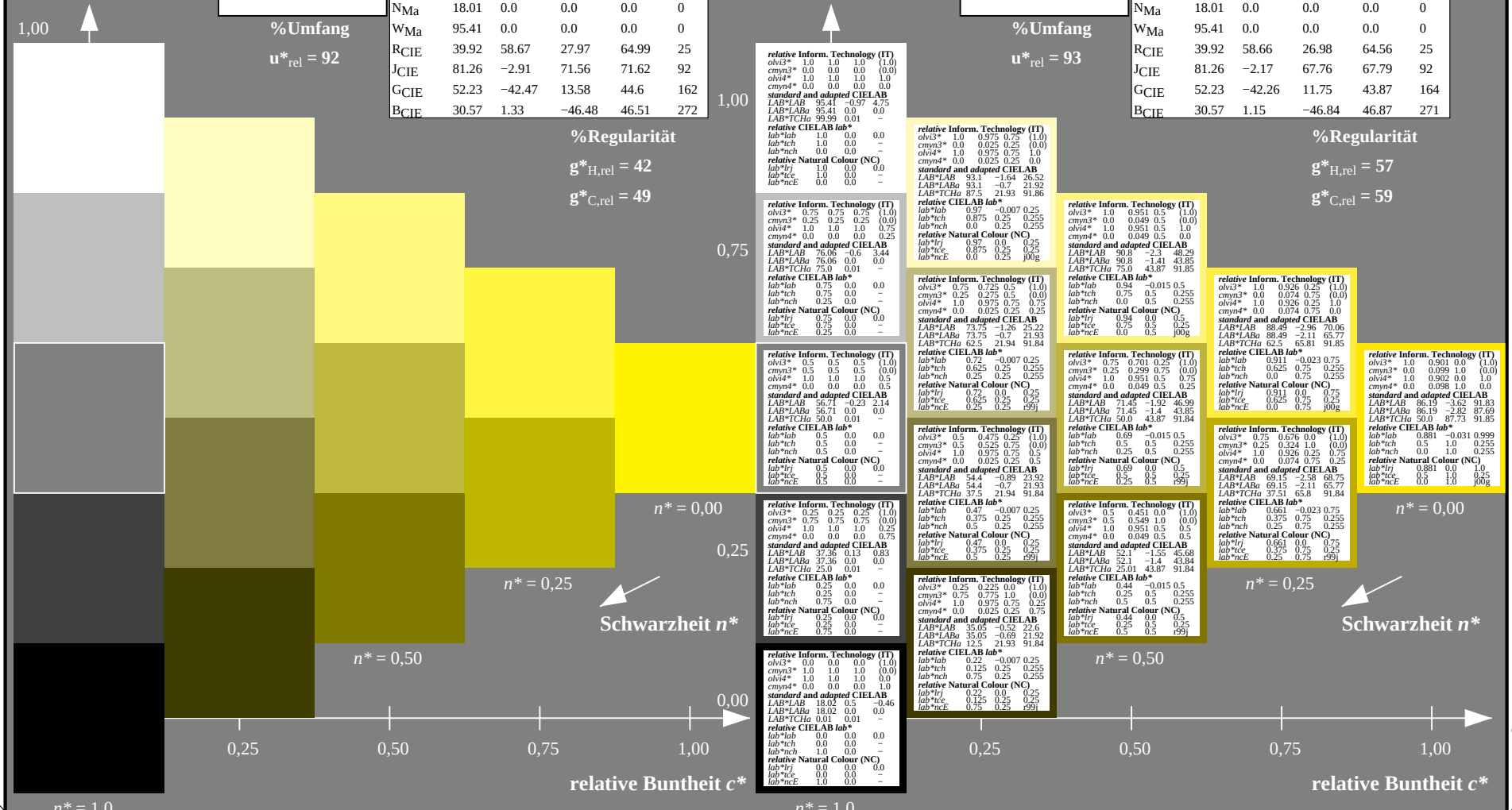

TG460−7, 5 stufige Reihen für konstanten CIELAB Buntton 92/360 = 0.256 (links)

5 stufige Reihen für konstanten CIELAB Buntton 92/360 = 0.255 (rechts)

BAM-Prüfvorlage TG46; Farbmetrik-Systeme ORS18 & ORS18 input: *olv* setrgbcolor*
D65: 5stufige Farbreihen und Koordinaten-Daten für 10 Bunttöne output: *Startup (S) data dependend*

Eingabe: Farbmetrisches Reflexions-System MRS18a
für Buntton *h* = lab*h = 162/360 = 0.451*
lab*tch* und *lab*nch

D65: Buntton G
LCH*Ma: 56 66 162
rgb*Ma: 0.11 1.0 0.0

Dreiecks-Helligkeit

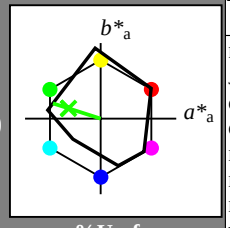

%Umfang
u*rel = 92

MRS18a; adaptierte CIELAB-Daten

	L*=L*a	a*a	b*a	C*ab,a	h*ab,a
R_{Ma}	49.63	66.8	40.02	77.87	31
J_{Ma}	90.7	−7.27	93.19	93.48	94
G_{Ma}	52.11	−69.93	11.26	70.85	171
$G50B_{Ma}$	45.03	−36.65	−27.13	45.61	217
B_{Ma}	36.65	23.26	−62.27	66.49	290
$B50R_{Ma}$	34.94	57.27	−43.6	71.99	323
N_{Ma}	18.01	0.0	0.0	0.0	0
W_{Ma}	95.41	0.0	0.0	0.0	0
R_{CIE}	39.92	58.67	27.97	64.99	25
J_{CIE}	81.26	−2.91	71.56	71.62	92
G_{CIE}	52.23	−42.47	13.58	44.6	162
B_{CIE}	30.57	1.33	−46.48	46.51	272

%Regularität
g*H,rel = 42
g*C,rel = 49

1,00
0,75
0,25
0,00
n = 0,00*
n = 0,25*
n = 0,50*
n = 1,0*
Schwarzheit *n**
0,25 0,50 0,75 1,00
relative Buntheit *c**

Ausgabe: Farbmetrisches Reflexions-System ORS18
für Buntton *h* = lab*h = 164/360 = 0.457*
lab*tch* und *lab*nch

D65: Buntton G
LCH*Ma: 53 57 164
rgb*Ma: 0.0 1.0 0.25

Dreiecks-Helligkeit

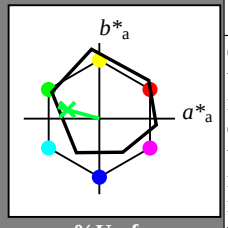

%Umfang
u*rel = 93

ORS18; adaptierte CIELAB-Daten

	L*=L*a	a*a	b*a	C*ab,a	h*ab,a
O_{Ma}	47.94	65.37	50.52	82.62	38
Y_{Ma}	90.37	−10.27	91.77	92.34	96
L_{Ma}	50.9	−62.79	34.95	71.87	151
C_{Ma}	58.62	−30.35	−45.01	54.3	236
V_{Ma}	25.71	31.11	−44.42	54.24	305
M_{Ma}	48.13	75.27	−8.35	75.73	354
N_{Ma}	18.01	0.0	0.0	0.0	0
W_{Ma}	95.41	0.0	0.0	0.0	0
R_{CIE}	39.92	58.66	26.98	64.56	25
J_{CIE}	81.26	−2.17	67.76	67.79	92
G_{CIE}	52.23	−42.26	11.75	43.87	164
B_{CIE}	30.57	1.15	−46.84	46.87	271

%Regularität
g*H,rel = 57
g*C,rel = 59

1,00
0,75
0,25
0,00
n = 0,00*
n = 0,25*
n = 0,50*
n = 1,0*
Schwarzheit *n**
0,25 0,50 0,75 1,00
relative Buntheit *c**

TG460−7, 5 stufige Reihen für konstanten CIELAB Buntton 162/360 = 0.451 (links)
5 stufige Reihen für konstanten CIELAB Buntton 164/360 = 0.457 (rechts)

Eingabe: Farbmetrisches Reflexions-System MRS18a
für Buntton *h* = lab*h = 272/360 = 0.755*
lab*tch* und *lab*nch

D65: Buntton B
LCH*Ma: 40 49 272
rgb*Ma: 0.0 0.36 1.0

Dreiecks-Helligkeit

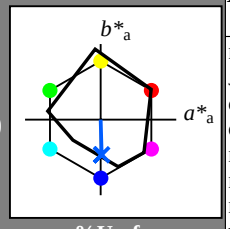

%Umfang
u*rel = 92

MRS18a; adaptierte CIELAB-Daten

	L*=L*a	a*a	b*a	C*ab,a	h*ab,a
R_{Ma}	49.63	66.8	40.02	77.87	31
J_{Ma}	90.7	−7.27	93.19	93.48	94
G_{Ma}	52.11	−69.93	11.26	70.85	171
$G50B_{Ma}$	45.03	−36.65	−27.13	45.61	217
B_{Ma}	36.65	23.26	−62.27	66.49	290
$B50R_{Ma}$	34.94	57.27	−43.6	71.99	323
N_{Ma}	18.01	0.0	0.0	0.0	0
W_{Ma}	95.41	0.0	0.0	0.0	0
R_{CIE}	39.92	58.67	27.97	64.99	25
J_{CIE}	81.26	−2.91	71.56	71.62	92
G_{CIE}	52.23	−42.47	13.58	44.6	162
B_{CIE}	30.57	1.33	−46.48	46.51	272

%Regularität
g*H,rel = 42
g*C,rel = 49

Ausgabe: Farbmetrisches Reflexions-System ORS18
für Buntton *h* = lab*h = 271/360 = 0.754*
lab*tch* und *lab*nch

D65: Buntton B
LCH*Ma: 42 45 271
rgb*Ma: 0.0 0.49 1.0

Dreiecks-Helligkeit

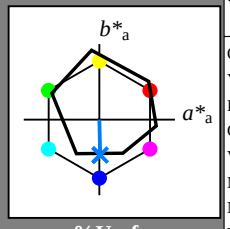

%Umfang
u*rel = 93

ORS18; adaptierte CIELAB-Daten

	L*=L*a	a*a	b*a	C*ab,a	h*ab,a
O_{Ma}	47.94	65.37	50.52	82.62	38
Y_{Ma}	90.37	−10.27	91.77	92.34	96
L_{Ma}	50.9	−62.79	34.95	71.87	151
C_{Ma}	58.62	−30.35	−45.01	54.3	236
V_{Ma}	25.71	31.11	−44.42	54.24	305
M_{Ma}	48.13	75.27	−8.35	75.73	354
N_{Ma}	18.01	0.0	0.0	0.0	0
W_{Ma}	95.41	0.0	0.0	0.0	0
R_{CIE}	39.92	58.66	26.98	64.56	25
J_{CIE}	81.26	−2.17	67.76	67.79	92
G_{CIE}	52.23	−42.26	11.75	43.87	164
B_{CIE}	30.57	1.15	−46.84	46.87	271

%Regularität
g*H,rel = 57
g*C,rel = 59

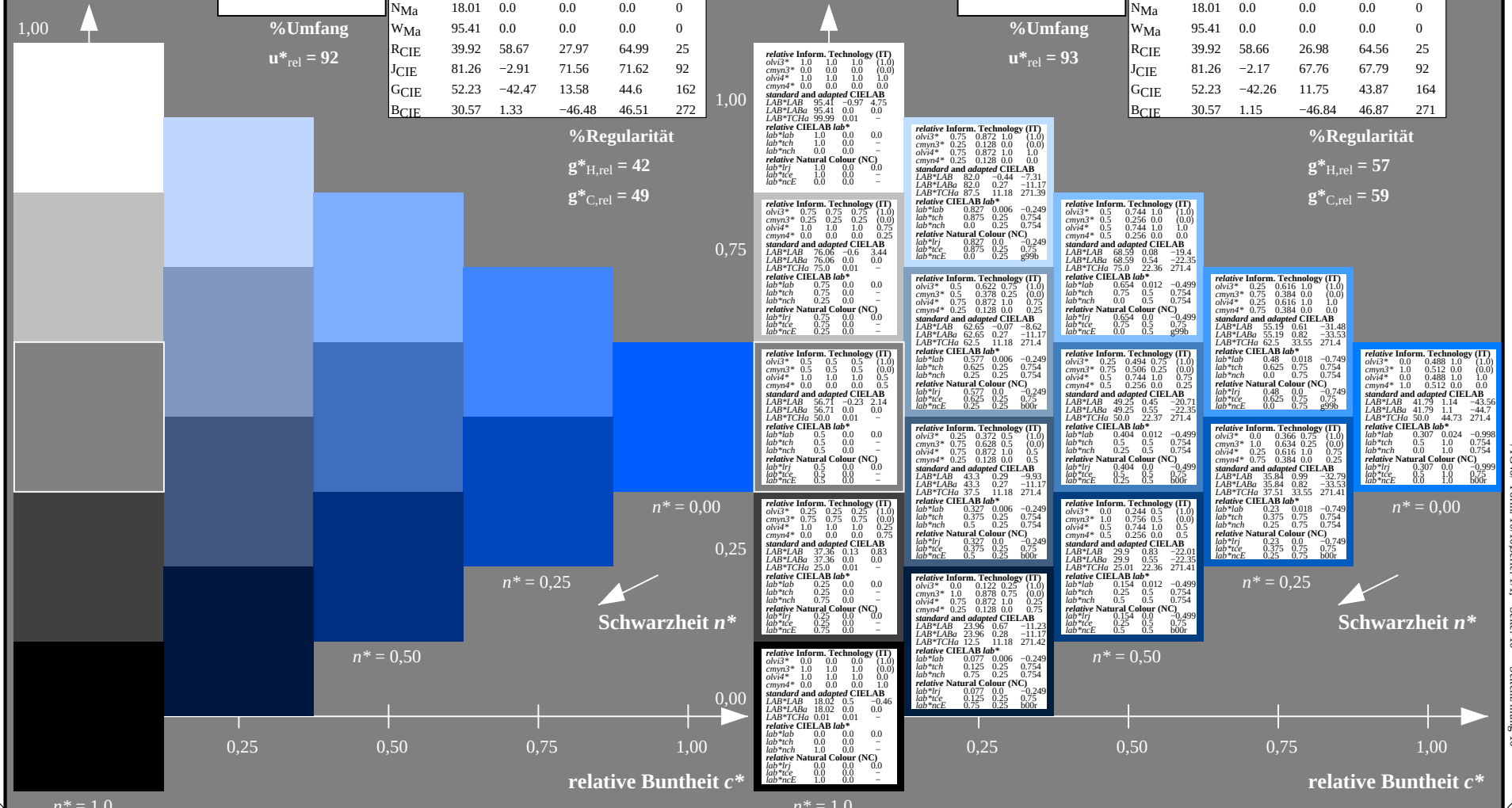

TG460−7, 5 stufige Reihen für konstanten CIELAB Buntton 272/360 = 0.755 (links)

5 stufige Reihen für konstanten CIELAB Buntton 271/360 = 0.754 (rechts)

BAM-Prüfvorlage TG46; Farbmetrik-Systeme ORS18 & ORS18 input: *olv* setrgbcolor*
D65: 5stufige Farbreihen und Koordinaten-Daten für 10 Bunttöneoutput: *Startup (S) data dependend*